

# 定向凝固 NiAl–28Cr–5.5Mo–0.5Hf 合金中 Ni<sub>2</sub>AlHf 相和 Ni<sub>16</sub>Hf<sub>6</sub>Si<sub>7</sub> 相的研究 \*

陈玉喜<sup>1)</sup> 崔传勇<sup>1)</sup> 刘志权<sup>1,2)</sup> 贺连龙<sup>1)</sup> 郭建亭<sup>1)</sup> 李斗星<sup>1)</sup>

1) 中国科学院金属研究所固体原子像开放研究实验室, 沈阳 110015

2) 大连海事大学材料工艺研究所, 大连 116026

**摘要** 少量的 Hf(0.5%) 加入到定向凝固的 NiAl–Cr(Mo) 合金中, 会产生 Heusler 相 Ni<sub>2</sub>AlHf, 该相呈网状分布在 NiAl/Cr(Mo) 相界面区域。Ni<sub>2</sub>AlHf 与 NiAl 之间不存在固定的晶体学取向关系, 但有时也发现二者存在立方 – 立方取向关系: [111]<sub>NiAl</sub> // [111]<sub>H</sub>, (10 $\bar{1}$ )<sub>NiAl</sub> // (20 $\bar{2}$ )<sub>H</sub>, 并通过高分辨电子显微照片分析了二者界面的精细结构。由于定向凝固过程中, Si 元素进入到合金中, 所以在此合金中发现了 G- 相 Ni<sub>16</sub>Hf<sub>6</sub>Si<sub>7</sub>。细小弥散的 Ni<sub>16</sub>Hf<sub>6</sub>Si<sub>7</sub> 相呈立方体形状, 与 Ni<sub>2</sub>AlHf 相相伴分布在 NiAl/Cr(Mo) 相界面附近。同时讨论了 NiAl/Ni<sub>2</sub>AlHf 及 NiAl/Ni<sub>16</sub>Hf<sub>6</sub>Si<sub>7</sub> 的界面能量, Ni<sub>16</sub>Hf<sub>6</sub>Si<sub>7</sub> 相在 NiAl 中析出的惯习面和 Ni<sub>2</sub>AlHf 相及 Ni<sub>16</sub>Hf<sub>6</sub>Si<sub>7</sub> 相分布形态的成因。

**关键词** HREM, 定向凝固, G- 相 Ni<sub>16</sub>Hf<sub>6</sub>Si<sub>7</sub>, Heusler 相 Ni<sub>2</sub>AlHf

**中图法分类号** TG132.3, TG113.12      **文献标识码** A      **文章编号** 0412–1961(1999)11–1151–04

## INVESTIGATION OF HEUSLER PHASE Ni<sub>2</sub>AlHf AND G-PHASE Ni<sub>16</sub>Hf<sub>6</sub>Si<sub>7</sub> IN A DIRECTIONALLY SOLIDIFIED NiAl–28Cr–5.5Mo–0.5Hf ALLOY

CHEN Yuxi<sup>1)</sup>, CUI Chuanyong<sup>1)</sup>, LIU Zhiqian<sup>1,2)</sup>, HE Lianlong<sup>1)</sup>, GUO Jianting<sup>1)</sup>, LI Douxing<sup>1)</sup>

1) Laboratory of Atomic Imaging of Solids, Institute of Metal Research, The Chinese Academy of Sciences, Shenyang 110015

2) Institute of Materials and Technology, Dalian Maritime University, Dalian 116026

Correspondent: CHEN Yuxi, Tel: (024)23843531-55243

Manuscript received 1999-06-24, in revised form 1999-08-12

**ABSTRACT** Small addition(0.5%) of Hf to directionally solidified NiAl–Cr(Mo) alloy results in discontinuously distributed Heusler phase Ni<sub>2</sub>AlHf at NiAl/Cr(Mo) interface. There is no consistent orientation relationship(O.R.) between NiAl and Ni<sub>2</sub>AlHf, but sometimes, a cube-on-cube O.R. was observed between the two phases, [111]<sub>NiAl</sub> // [111]<sub>H</sub> and (10 $\bar{1}$ )<sub>NiAl</sub> // (10 $\bar{1}$ )<sub>H</sub>. The microstructure of NiAl/ Ni<sub>2</sub>AlHf interface has been studied using high resolution electron microscope. Fine G-phase Ni<sub>16</sub>Hf<sub>6</sub>Si<sub>7</sub> is cuboidal in shape and co-exists with Ni<sub>2</sub>AlHf phase at NiAl–Cr(Mo) interface. Si is a contaminant resulting from contact with Al<sub>2</sub>O<sub>3</sub>–SiO<sub>2</sub> ceramic mold during directional solidification of the alloy. The interface energies of NiAl/Ni<sub>2</sub>AlHf and NiAl/ Ni<sub>16</sub>Hf<sub>6</sub>Si<sub>7</sub>, the habit plane of fine G-phase and the solidification process of the alloy have been also discussed.

**KEY WORDS** HREM, directional solidification, G-phase Ni<sub>16</sub>Hf<sub>6</sub>Si<sub>7</sub>, Heusler phase Ni<sub>2</sub>AlHf

定向凝固 NiAl–Cr(Mo) 共晶合金的研究已进行了约三十年<sup>[1,2]</sup>。最近, 对这种合金的研究又重新掀起了热潮<sup>[3]</sup>, 因为它比多晶 NiAl 具有高得多的断裂韧性。这种合金的微观结构特征是层片状的 Cr(Mo) 相镶嵌在 NiAl 基体中。然而, 相对较低的蠕变强度极大地限制了它在高温领域的应

用。研究表明, 在 NiAl 中加入第 IV 族元素, 特别是 Hf, 可以有效地提高 NiAl 单晶的高温蠕变强度<sup>[4]</sup>, 其原因是这些元素所产生的固溶强化或沉淀强化作用。沉淀强化是由于生成了细小弥散的 Heusler 相 Ni<sub>2</sub>AlHf, 这种相是在经过长时间的高温时效处理后生成的。然而, NiAl 单晶合金中有时还发现有少量含 Si 的 G- 相 Ni<sub>16</sub>Hf<sub>6</sub>Si<sub>7</sub>。应该指出的是, Si 元素并不是特意加入的, 而是定向凝固过程中, 合金和铸模材料中的 Si 发生反应, 从而使 Si 进入到合金中。本文讨论了采用定向凝固方法制备的 NiAl–Cr(Mo)–Hf 合金中,

\* 国家自然科学基金 59831020, 59895156 和 59871055 资助项目

收到初稿日期: 1999-06-24, 收到修改稿日期: 1999-08-12

作者简介: 陈玉喜, 男, 1968 年生, 博士生

$\text{Ni}_2\text{AlHf}$  及  $\text{Ni}_{16}\text{Hf}_6\text{Si}_7$  相的生长形态，与  $\text{NiAl}$  基体的晶体学取向和界面精细结构。

## 1 实验方法

实验合金采用电解 Ni，金属 Al, Cr, Mo 和 Hf 元素作为原材料，在真空感应炉中熔炼并浇注成直径 36 mm 的圆棒。合金的配料成分（原子分数，%，下同）为 Ni 33, Al 33, Cr 28, Mo 5.5, Hf 0.5。合金通过提拉法，在定向真空炉内拉制成直径 16 mm、长度 150 mm 的圆棒，抽拉速度为 5 mm/min，固液界面的温度梯度为 70—80 °C/mm。电镜样品的制备过程为：线切割出 0.3 mm 的薄片，机械减薄至 35 μm，最后离子减薄至样品穿孔。电镜观察是在 JEM2000EXII 和 JEM2010 高分辨电镜上进行的。EDXS 定量分析是在日立的 HF2000 冷场发射枪电镜上，采用纳米束斑，根据 Cliff-Lorimer 方法计算完成的。

## 2 实验结果和分析

制备态  $\text{NiAl}-28\text{Cr}-5.5\text{Mo}-0.5\text{Hf}$  合金的宏观组织形貌是由灰白色的  $\text{NiAl}$  基体，黑色的层片状  $\text{Cr}(\text{Mo})$  相及白色的不连续网状分布的第三相组成，如图 1 所示。 $\text{NiAl}$  及  $\text{Cr}(\text{Mo})$  相的微观组织与精细结构将另文发表<sup>[5]</sup>。对白色第三相的 EDXS 成分分析结果是：Al 23.48, Ni 48.78, Hf 21.46 Si 3.68, Cr 2.59。可见， $\text{Ni}: \text{Al}: \text{Hf} \approx 2:1:1$ ，确定为 Heusler 相  $\text{Ni}_2\text{AlHf}$ ，其中含有少量的 Si 和 Cr 元素。Si 的来源可归因于定向凝固过程中，共晶合金和铸模材料  $\text{Al}_2\text{O}_3-\text{SiO}_2$  中的 Si 发生反应，从而使 Si 进入到共晶合金中<sup>[6,7]</sup>。大量的选区电子衍射分析表明，分布在  $\text{NiAl}$  及  $\text{Cr}(\text{Mo})$  两相界面处的  $\text{Ni}_2\text{AlHf}$  与  $\text{NiAl}$  基体不存在固定的晶体学取向关系，但在某些情况下，发现二者存在立方—立方取向关系，如图 2 所示。可以看出， $[111]_{\text{NiAl}} \parallel [111]_H$ ;  $(10\bar{1})_{\text{NiAl}} \parallel (20\bar{2})_H$  ( $H$ : 代表  $\text{Ni}_2\text{AlHf}$  相)。

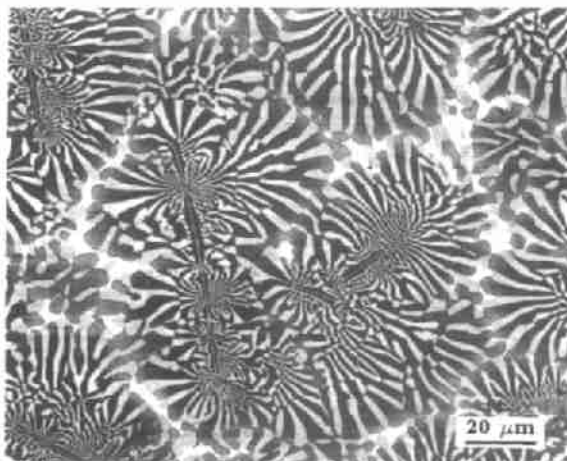


图 1 定向凝固  $\text{NiAl}-28\text{Cr}-5.5\text{Mo}-0.5\text{Hf}$  合金的宏观组织

Fig.1 Macrostructure of the directionally solidified  $\text{NiAl}-28\text{Cr}-5.5\text{Mo}-0.5\text{Hf}$  alloy

图 3 是相应的 HREM 照片。从 HREM 照片可以看出， $\text{NiAl}/\text{Ni}_2\text{AlHf}$  的界面为原子间的直接结合，中间没有非晶过渡层及界面相的存在。界面错配位错清晰可见，并且错配位错的半原子面位于较软的  $\text{NiAl}$  基体中。界面错配位错的出现，是为了适配  $\text{NiAl}$  和  $\text{Ni}_2\text{AlHf}$  之间 5% 的晶格错配度，降低界面的能量。这种现象已被大量的实验结果所证实<sup>[8,9]</sup>。

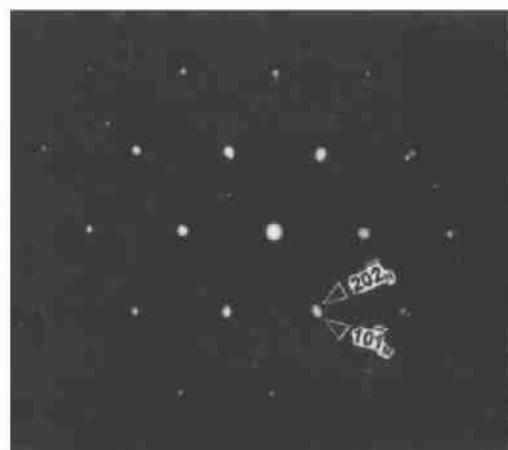


图 2  $\text{Ni}_2\text{AlHf}$  和  $\text{NiAl}$  的复合电子衍射谱

Fig.2 Electron diffraction pattern taken from  $\text{NiAl}$  and  $\text{Ni}_2\text{AlHf}$  phase

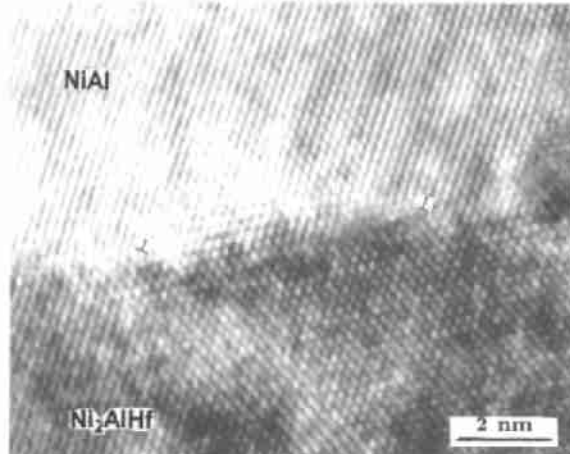


图 3  $\text{NiAl}/\text{Ni}_2\text{AlHf}$  相界面的高分辨像

Fig.3 HREM image viewed along [111] common direction of  $\text{NiAl}$  and  $\text{Ni}_2\text{AlHf}$

另外，实验中还发现了  $\text{Ni}_2\text{AlHf}$  相和  $\text{NiAl}$  的一种取向关系的变体，如图 4 所示。可以看出， $[111]_{\text{NiAl}} \parallel [111]_H$ ;  $(10\bar{1})_{\text{NiAl}} \parallel (20\bar{2})_H$ 。其中， $\text{NiAl}$  的  $(10\bar{1})$  面和  $\text{Ni}_2\text{AlHf}$  的  $(20\bar{2})$  面围绕  $[111]$  方向相对旋转了 4°。 $\text{NiAl}$  为  $\text{B}_2$  有序结构，其晶格常数为 0.2887 nm。 $\text{Ni}_2\text{AlHf}$  的晶体结构为  $\text{L}_1_2$  结构，空间群为  $Pm3m$ ，这种结构可看作由 8 个  $\text{B}_2$  有序结构的亚单胞组成，晶格常数是 0.6081 nm，其每个亚

单胞较 NiAl 单胞膨胀了 5%。由于 NiAl 和  $\text{Ni}_2\text{AlHf}$  相的晶体结构非常相似，且晶格常数相差很小，所以，NiAl 和  $\text{Ni}_2\text{AlHf}$  相具有如图 2 所示的取向关系，可使二者界面具有较低的能量。即使 NiAl 和  $\text{Ni}_2\text{AlHf}$  相各自的  $(10\bar{1})$  面绕  $[111]$  方向相对旋转  $4^\circ$ ，根据 Jesser 和 Kuhlmann-Wilsdorf 的计算结果<sup>[10]</sup>，其界面能较未旋转时稍有增加，但增加量很小。所以，NiAl 和  $\text{Ni}_2\text{AlHf}$  相形成具有如图 2 和 4 所示的取向关系，有利于降低界面的能量。如前所述，由于定向凝固过程中，模壳材料中的 Si 元素进入到合金中，所以在此合金中发现了  $\text{Ni}_{16}\text{Hf}_6\text{Si}_7$  相。图 5 是在块状  $\text{Ni}_2\text{AlHf}$  相和细小弥散分布的  $\text{Ni}_{16}\text{Hf}_6\text{Si}_7$  相相伴分布在 NiAl/Cr(Mo) 界面区域的电镜明场像。图 6 是电子束平行于 NiAl 和  $\text{Ni}_{16}\text{Hf}_6\text{Si}_7$  的  $[011]$  晶带轴时拍摄的 NiAl 中弥散分布的  $\text{Ni}_{16}\text{Hf}_6\text{Si}_7$  相。图 7 是相应的  $\text{Ni}_{16}\text{Hf}_6\text{Si}_7$  相与 NiAl 基体的复合电子衍射谱， $\text{Ni}_{16}\text{Hf}_6\text{Si}_7$  与 NiAl 具

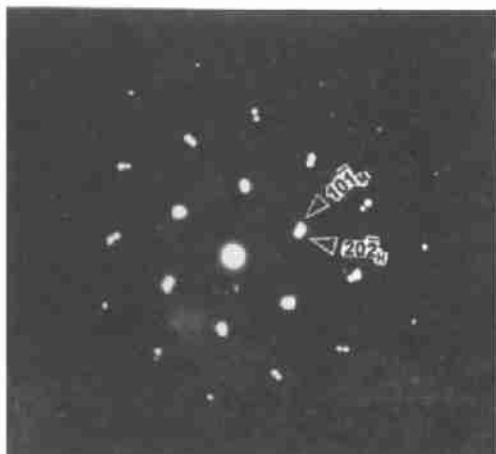


图 4  $\text{Ni}_2\text{AlHf}$  相和 NiAl 的取向关系的变体

Fig.4 A variant of O.R. between NiAl and  $\text{Ni}_2\text{AlHf}$  phase

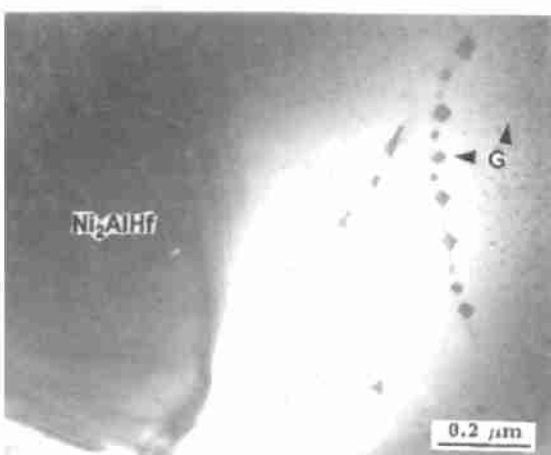


图 5  $\text{Ni}_2\text{AlHf}$  和  $\text{Ni}_{16}\text{Hf}_6\text{Si}_7$  相伴分布在 NiAl/Cr(Mo) 界面区域

Fig.5 Fine G-phases  $\text{Ni}_{16}\text{Hf}_6\text{Si}_7$  co-existing with  $\text{Ni}_2\text{AlHf}$  at NiAl/Cr(Mo) interface

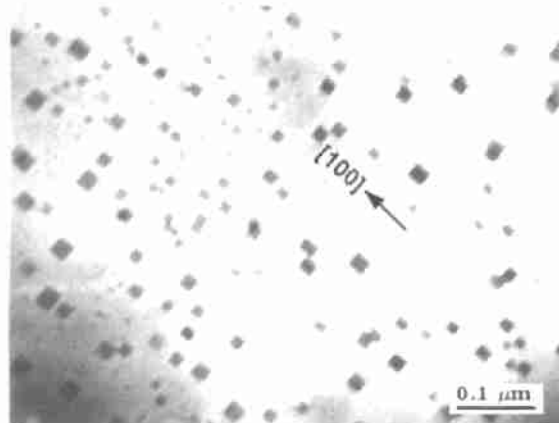


图 6 沿 NiAl 和  $\text{Ni}_{16}\text{Hf}_6\text{Si}_7$  相的  $[011]$  晶带轴拍摄的 NiAl 中弥散分布的  $\text{Ni}_{16}\text{Hf}_6\text{Si}_7$  相

Fig.6 Bright field TEM image of fine G-phases  $\text{Ni}_{16}\text{Hf}_6\text{Si}_7$  precipitating within NiAl matrix, which was taken along  $[011]$  zone axes of NiAl and  $\text{Ni}_{16}\text{Hf}_6\text{Si}_7$

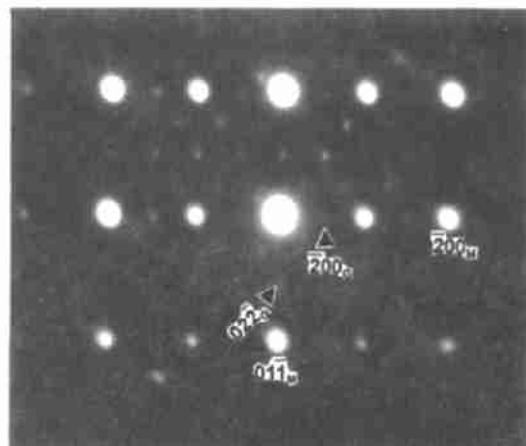


图 7  $\text{Ni}_{16}\text{Hf}_6\text{Si}_7$  和 NiAl 的复合电子衍射谱

Fig.7 Electron diffraction pattern taken from NiAl and  $\text{Ni}_{16}\text{Hf}_6\text{Si}_7$

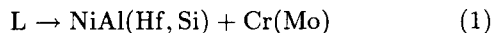
有固定的晶体学取向关系  $[011]_{\text{NiAl}} \parallel [011]_G; (\overline{2}00)_{\text{NiAl}} \parallel (\overline{2}00)_G$  ( $G$ : 代表  $\text{Ni}_{16}\text{Hf}_6\text{Si}_7$ )。

$\text{Ni}_{16}\text{Hf}_6\text{Si}_7$  具有  $\text{Mn}_{23}\text{Th}_6$  型结构，其晶格常数为 1.1436 nm，几乎是 NiAl 的 4 倍。所以二者具有如上取向关系无疑会使二者具有最低的界面能量。从图 6 可以看出，细小弥散的  $\text{Ni}_{16}\text{Hf}_6\text{Si}_7$  相的平均尺寸在 5—20 nm 之间，呈立方体形状，其中的两个  $\{100\}$  面呈“edge-on”状态，说明  $\text{Ni}_{16}\text{Hf}_6\text{Si}_7$  相的惯习面是 NiAl 的  $\{100\}$  面。由于  $\text{Ni}_{16}\text{Hf}_6\text{Si}_7$  相和 NiAl 的晶格错配度只有 1%，并且没有发现界面错配位错，所以这种弥散分布的  $\text{Ni}_{16}\text{Hf}_6\text{Si}_7$  相与 NiAl 基体是共格的。根据 Wen 等人<sup>[11]</sup> 提出的线弹性力学模型，可以计算呈立方体形状的共格  $\text{Ni}_{16}\text{Hf}_6\text{Si}_7$  相在立方结

构 NiAl 基体中的惯习面。NiAl 的弹性常数 (Pa)<sup>[12]</sup> 是:  $C_{11}=2.115\times10^{11}$ ,  $C_{12}=1.432\times10^{11}$ ,  $C_{44}=1.121\times10^{11}$ , 满足条件  $\Delta=(C_{11}-C_{12}-2C_{44}) < 0$ .  $\text{Ni}_{16}\text{Hf}_6\text{Si}_7$  相呈立方体形状, 所以正方度参数  $\eta$  为 0. 由以上两个条件可以计算得出  $\text{Ni}_{16}\text{Hf}_6\text{Si}_7$  相在 NiAl 中析出的惯习面是  $\{100\}_{\text{NiAl}}$ , 与实验观察结果完全相同. 计算值和观察结果之间的良好一致性表明弹性应变能是控制  $\text{Ni}_{16}\text{Hf}_6\text{Si}_7$  相在 NiAl 中的析出过程的主要因素.  $\text{Ni}_{16}\text{Hf}_6\text{Si}_7$  相和 NiAl 基体之间良好的共格性及非常小的晶格错配度无疑会促进  $\text{Ni}_{16}\text{Hf}_6\text{Si}_7$  相的形核和生长, 此外, NiAl 中的  $\langle 100 \rangle$  位错也会促进  $\text{Ni}_{16}\text{Hf}_6\text{Si}_7$  相的形核和生长, 因为在位错线上形核和生长有利于降低体系的能量<sup>[13]</sup>.

这种细小弥散分布且与 NiAl 基体共格的  $\text{Ni}_{16}\text{Hf}_6\text{Si}_7$  相无疑会充分发挥其沉淀强化作用, 提高合金的力学性能. 但应该指出的是, 由于定向凝固过程中元素的偏析,  $\text{Ni}_{16}\text{Hf}_6\text{Si}_7$  主要分布在 NiAl/Cr(Mo) 相界面附近, 和块状  $\text{Ni}_2\text{AlHf}$  相相伴生长.

根据 NiAl-Cr-Mo 伪三元相图<sup>[1]</sup> 和 NiAl-Ni<sub>2</sub>AlHf 伪二元相图<sup>[14]</sup>, 可以推断 NiAl-28Cr-5.5Mo-0.5Hf 合金的凝固过程如下: 在 1445 °C, 合金发生共晶反应



可见, Hf 和 Si 固溶在 NiAl 中, 并被排斥到最后凝固的 NiAl/Cr(Mo) 相界面附近. 随温度的降低,  $\text{Ni}_2\text{AlHf}$  相和  $\text{Ni}_{16}\text{Hf}_6\text{Si}_7$  相就沉淀在相界面区域, 即



这就是为什么块状  $\text{Ni}_2\text{AlHf}$  和细小弥散的  $\text{Ni}_{16}\text{Hf}_6\text{Si}_7$  相总是在 NiAl/Cr(Mo) 相界面区域相伴生长的原因.

应当指出, 元素 Si 是作为杂质在制备过程中进入到合金中的, 为避免这种现象发生, 可采用其它的铸模材料, 如不锈钢铸模等. 此外,  $\text{Ni}_{16}\text{Hf}_6\text{Si}_7$  相是热力学不稳定的相, 通过热处理的方法也可使它消失.  $\text{Ni}_2\text{AlHf}$  相呈网状不连续地分布在 NiAl/Cr(Mo) 相界面处, 这种分布形态无疑不利于合金力学性能的改善, 可通过热处理的方法, 使这些网状分布的  $\text{Ni}_2\text{AlHf}$  相固溶, 并以弥散分布的形式重新析出在 NiAl 基体中, 充分发挥其弥散强化作用.

### 3 结论

(1)  $\text{Ni}_2\text{AlHf}$  相呈不连续网状分布在 NiAl/Cr(Mo) 相界面处, 它与 NiAl 基体不存在固定的晶体学取向关系, 但有时也发现二者存在立方 - 立方取向关系:  $[111]_{\text{NiAl}} // [111]_{\text{H}}$ ;  $(10\bar{1})_{\text{NiAl}} // (20\bar{2})_{\text{H}}$ . 界面错配位错适配 NiAl 和 Heusler 相之间 5% 的晶格错配度. 另外还发现以上晶体学取向的一种变体  $[111]_{\text{NiAl}} // [111]_{\text{H}}$ ;  $(10\bar{1})_{\text{NiAl}} // (20\bar{2})_{\text{H}}$ . NiAl 的  $(10\bar{1})$  面和  $\text{Ni}_2\text{AlHf}$  相的  $(20\bar{2})$  面绕  $[111]$  轴相对旋转了 4°. 这两种取向都使两相界面具有较低的能量.

(2) 细小弥散的  $\text{Ni}_{16}\text{Hf}_6\text{Si}_7$  相呈立方体形状与  $\text{Ni}_2\text{AlHf}$  相相伴分布在 NiAl/Cr(Mo) 相界面处, 它们和 NiAl 基体共格并存在固定的晶体学取向关系:  $[011]_{\text{NiAl}} // [011]_{\text{G}}$ ;  $(\bar{2}00)_{\text{NiAl}} // (\bar{2}00)_{\text{G}}$ .  $\text{Ni}_{16}\text{Hf}_6\text{Si}_7$  相在 NiAl 中析出的惯习面是  $\{100\}_{\text{NiAl}}$ , 与根据线弹性力学模型的计算结果完全一致, 弹性应变能是控制  $\text{Ni}_{16}\text{Hf}_6\text{Si}_7$  相在 NiAl 中的析出过程的主要因素.

### 参考文献

- [1] Cline H E, Walter J L. *Met Trans*, 1970; 1: 2907
- [2] Cline H E, Walter J L, Lifshin E, Russell R R. *Met Trans*, 1971; 2: 189
- [3] Yang J M, Jeng S M, Bain K, Amato R A. *Acta Metall*, 1997; 45: 295
- [4] Darolia R. *JOM*, 1991; 43(3): 44
- [5] Chen Y X, Cui C Y, He L L, Guo J T, Li D X. *Acta Metall Sin*, 1999; 35(Suppl.2):444  
(陈玉喜, 崔传勇, 贺连龙, 郭建亭, 李斗星. 金属学报, 1999; 35 (增刊 2):444)
- [6] Locci I E, Dickerson RM, Garg A, Noebe R D, Whittenberger J D, Nathal M V, Darolia R J. *Mater Res*, 1996; 11: 3024
- [7] Garg A, Noebe R D, Darolia R. *Acta Metall*, 1996; 44: 2809
- [8] Lu P, Cosandey F. *Acta Metall*, 1992; S40: 259
- [9] Li D X, Pirouz P, Heuer A H, Yadavalli S, Flynn C P. *Phil Mag*, 1992; A65: 403
- [10] Jesser W A, Kuhlmann-Wilsdorf D. *Phys Status Solidi*, 1967; 31: 533.
- [11] Wen S H, Kostlan E, Hong M, Khachaturyan A G, Morris J W Jr. *Acta Metall*, 1981; 29: 1247
- [12] Wasilewski R J. *Trans TMS-AIME*, 1966; 236: 455
- [13] Locci I E, Noebe R D, Bowman R R, Miner R V, Nathal M V, Darolia R. *Mater Res Soc Symp Proc*, 1991; 213: 1013
- [14] Takeyama M, Liu C T. *J Mater Res*, 1989; 5: 1189